

Зависимость коэффициента  $f$  от различных диаметров эмиттера и толщин изолятора 0,22 мм (○) и 0,42 мм (●).

## Интенсивность $\gamma$ -излучения наведенной активности для пласта конечной мощности

Г. С. ВОЖЕННИКОВ

Анализируется поведение интенсивности первичного  $\gamma$ -излучения наведенной активности вдоль некоторой оси, нормальной к простирианию пласта конечной мощности. Рассмотрен случай водородсодержащей квазиоднородной среды, в которой пласт и вмещающие породы не отличаются по свойствам, определяющим перенос нейтронного и  $\gamma$ -излучения. При этом допускается, что длина замедления быстрых нейтронов в среде много больше диффузационной длины тепловых нейтронов. В отличие от вмещающих пород в пласте равномерно распределен химический элемент-индикатор, обусловливающий возникновение наведенной  $\gamma$ -активности за счет взаимодействия ядер этого элемента с тепловыми нейтронами. Показано, что при соблюдении отмеченных ограничений расчетные формулы для интенсивности первичного  $\gamma$ -излучения наведенной активности в точках активации, расположенных внутри и вне пласта, отличаются от известных \* выражений для интенсивности естественного  $\gamma$ -излучения только множителем и заменой  $\mu$  выражением  $\mu + \frac{1}{L_f}$  ( $\mu$  — линейный коэффициент ослабления первичных квантов;  $L_f$  — длина замедления быстрых нейтронов).

## Параметры, определяющие $\gamma$ -поле в среде произвольного элементного состава

И. М. ХАЙКОВИЧ

Для быстрой оценки  $\gamma$ - поля важно знать параметры, характеризующие среду. Закономерности  $\gamma$ -поля в сложных средах устанавливаются из принципов подобия, развитых применительно к задачам скважинной радиометрии Ш. А. Губерманом [1] и использовавшихся в работах [2—4]. Показано, что в области энер-

\* Г. Ф. Новиков, Ю. Н. Капков. Радиоактивные методы разведки. М., «Недра», 1965.

потока, не превышал 3,5% и находился в пределах ошибки эксперимента.

Данные о величине коэффициента  $f$  для различных диаметров эмиттера и толщин изолятора представлены на рисунке, из которого видно, что величина  $f$  уменьшается с увеличением диаметра эмиттера и толщины изолятора.

Измерялось также кадмиеевое отношение для золота и родиевого ДПЗ в одном и том же месте канала реактора. Показано, что кадмиеевое отношение для родиевого ДПЗ (равное 25) значительно превышает кадмиеевое отношение для золота (равное 5), следовательно, вклад в показания ДПЗ резонансных нейтронов невелик.

(№ 365/5547. Статья поступила в Редакцию 18/VII 1969 г.; аннотация 22/X 1969 г. Полный текст 0,45 а. л., 2 рис., 2 табл., 3 библиографических ссылки.)

УДК 550.83

Полученные формулы использовались для расчета кривых активационного профилирования и кривой насыщения применительно к водородсодержащей среде (бурый уголь) со следующими параметрами:  $L_f = 15 \text{ см}$ ,  $\mu = 0,08 \text{ см}^{-1}$ .

Результаты расчета сопоставлялись с экспериментальными данными, полученными на модели. Вмещающей породой модели служил размельченный бурый уголь. Для приготовления «продуктивных» пластов переменной мощности ( $h = Var$ ) применялся аналогичный уголь, обогащенный марганцем.

Регистрация наведенной активности изотопа  $Mn^{55}$ , который образуется в результате реакции  $Mn^{55}(n, \gamma)Mn^{56}$ , осуществлялась в «скважине» (влияние скважины при расчете не учитывалось), расположенной по оси цилиндрической модели и обсаженной трубкой ( $d = 3 \text{ см}$ ), изготовленной из неактивирующегося материала (оргстекло).

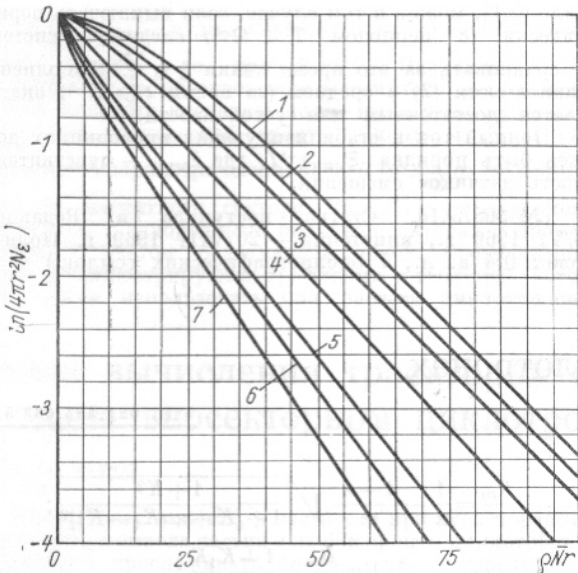
(№ 366/5260. Статья поступила в Редакцию 18/II 1969 г., аннотация — 4/VIII 1969 г. Полный текст 0,25 а. л., 3 рис., 3 библиографических ссылки.)

УДК 550.83

гий до 3 МэВ величина

$$N_\varepsilon(\mathbf{r}) = \int_{4\pi} d\Omega \int_{\varepsilon} \varepsilon(E) N(\mathbf{r}, \Omega, E) dE \quad (1)$$

[где  $N(\mathbf{r}, \Omega, E)$  — дифференциальный спектр  $\gamma$ -квантов, а  $\varepsilon(E)$  — эффективность детектора] независимо от типа источника однозначно определяется коэффициентом геометрического подобия  $\rho\bar{N}$  и эффективным атомным номером  $\bar{Z}$ , которые рассчитываются по фор-



Функции распределения потока энергии (интенсивности) от точечного источника  $\text{Ra}^{226}$  в различных средах:

1 —  $\text{H}_2\text{O}$  ( $Z = 7,5$ ); 2 —  $\text{Al}$  (13); 3 —  $\text{Fe}$  (26); 4 —  $\text{Sn}$  (50);  
5 —  $\text{W}$  (74); 6 —  $\text{Pb}$  (82); 7 —  $\text{U}$  (92).

мулам

$$\rho \bar{N} = 2\rho \sum_i p_i \frac{Z_i}{A_i}; \quad \bar{Z} = \left( \frac{\sum_i p_i \frac{Z_i}{A_i} Z_i^{3,1}}{\sum_i p_i \frac{Z_i}{A_i}} \right)^{1/3,1} \quad (2)$$

где  $\rho$  — плотность среды;  $p_i$ ,  $Z_i$ ,  $A_i$  — концентрация, атомный номер и атомный вес  $i$ -го элемента среды соот-

ветственно. При этом в подобных системах  $N_e(r)$  такова, что в трехмерном случае для источников мощностью  $S$  квантов в единичном объеме в единицу времени

$$\left\{ \frac{N_e}{(\rho \bar{N})^2}, \rho \bar{N}x, \rho \bar{N}y, \rho \bar{N}z, \bar{Z}, \frac{S}{(\rho \bar{N})^3} \right\} = \text{idem}. \quad (3)$$

Выведены соотношения типа (3) для точечного, линейного, плоского и равномерно распределенных в бесконечной среде источников.

С помощью полученных в работе [5] результатов рассчитаны интенсивности  $\gamma$ -излучения  $[e(E) = E]$  от точечных источников  $\text{Ra}^{226}$ ,  $\text{Co}^{60}$  и  $\text{Cs}^{137}$  в бесконечных однородных средах.

Эти расчеты в соответствии с соотношением (3) представлены в виде графиков зависимостей  $4\pi r^2 N_e$  от  $\rho \bar{N}r$  для различных значений  $\bar{Z}$ . Приведенные в качестве примера на рисунке графики наглядно иллюстрируют однозначную зависимость  $\gamma$ - поля от параметров (2).

(№ 367/5209. Статья поступила в Редакцию 20/XII 1968 г., аннотация — 1/IX 1969 г. Полный текст 0,45 а. л., 3 рис., 9 библиографических ссылок.)

## ЛИТЕРАТУРА

- Ш. А. Губерман. Теория подобия и радиометрия скважин. М., Гостоптехиздат, 1962.
- В. А. Арцыбашев. Гамма-метод измерения плотности. М., Атомиздат, 1965.
- J. Czubek. Rapport CEA-R3099. Saclay, 1966.
- Н. М. Блинова, К. И. Якубсон. Проблемы ядерной геофизики. М., «Недра», 1964, стр. 74.
- Г. Гольдштейн, Дж. Уилкинс. В сб. «Задачи транспортных установок с ядерным двигателем». Перев. с англ. М., Изд-во иностр. лит., 1961, стр. 213.

## О возможностях подавления винтовых мод гидромагнитной неустойчивости плазменного шнура с током системой обратных связей

В. В. АРСЕНЬЕВ

Известно, что для подавления крупномасштабных винтовых мод гидромагнитной неустойчивости плазменного шнура с током требуется продольное магнитное поле, существенно превышающее поле, которое нужно для стабилизации локализованных возмущений. Стабилизация этих мод способом, отличным от приложения сильного продольного поля, позволила бы при заданном продольном поле увеличить ток и нагрев в шнуре. В работе рассмотрена возможность подавления винтовых мод с помощью системы обратных связей, управляющей полями возмущения в зазоре между плазмой и кожухом. Эта возможность основана на чувствительности крупномасштабных колебаний к граничным условиям вне плазмы.

Рассмотрена простая модель прямого шнура с постоянной плотностью  $\rho$  в однородном поле  $H_z$  в предполо-

жении, что ток  $I$  распределен по сечению равномерно. Радиальное смещение границы плазмы в возмущении выбрано в виде  $\xi = \xi_0(t) \exp(im\theta + ikz)$ , где  $\theta$  — азимутальный угол;  $|m| > 1$ ;  $|k|a \ll 1$ ;  $a$  — радиус шнура. Предполагается, что на поверхности  $r = d$ ,  $d > a$  специальной радиотехнической схемой из датчиков и усилителей возбуждается ток плотности  $j_z = -\Delta(t)\xi_0 \exp(im\theta + ikz)$ ,  $\operatorname{div} j = 0$ . Уравнение колебаний имеет вид

$$\ddot{\xi}_0 + 2\Omega^2 \left[ x^2 - x + \frac{\pi a^2}{I} \left( \frac{a}{d} \right)^{|m|-1} \Delta(t) x \right] \xi_0 = 0, \quad (1)$$

где  $\Omega = 2I/c \sqrt{4\pi\rho a^2}$ ;  $x = \frac{m}{|m|} (m + cH_z ka^2/2I)$ . Стабилизации можно добиться путем подбора зависимости  $\Delta$  от  $x$ . Одна из возможностей ( $\Delta = \text{const } x^{-1}$ ) обсуж-

УДК 533.951.8

далась ранее \* применительно к шнту со сканированным током. Однако реализовать ее затруднительно, так как величину  $x$  нельзя измерить точно из-за неопределенности  $a$ .

В статье рассмотрена другая зависимость:

$$\Delta = \begin{cases} \Delta_0(t) > 0, & x \in (0, 1); \\ 0, & x \notin (0, 1), \end{cases} \quad (2)$$

обеспечивающая устойчивость при достаточно большом  $\Delta_0$ . Поскольку в отсутствие обратных связей возмущения с  $0 < x < 1$  неустойчивы, а волны  $x \notin (0, 1)$  не раскачиваются, то определить, лежит ли  $x$  в интер-

вале  $(0, 1)$ , можно в том случае, если выключать периодически (с периодом  $T \ll \Omega^{-1}$ ) следящую систему и сравнивать за это время знаки  $\xi$  и  $\ddot{\xi}$ . Выполнение зависимости (2) в среднем (за время  $t \gg \Omega^{-1}$ ) оказывается достаточным для устойчивости.

Полный ток в стабилизирующих проводниках должен быть порядка  $\xi_{\min} a^{-1} I$ , где  $\xi_{\min}$  — чувствительность датчиков смещения.

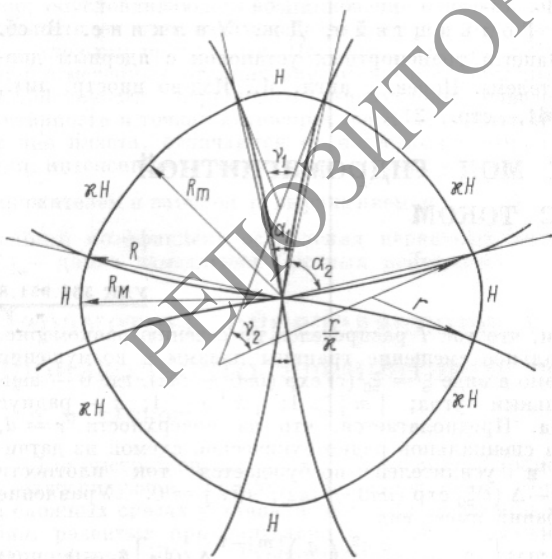
(№ 368/5416. Статья поступила в Редакцию 6/VII 1969 г., аннотация — 20/VIII 1969 г. Полный текст 0,4 а. л., 7 библиографических ссылок.)

## Геометрия орбит в секторных циклотронах

Е. М. МОРОЗ

Секторные циклотроны были предложены в 1956 г. [1—3]. Их преимущества по сравнению с циклотронами со сплошным магнитом в основном сводятся к возможности получения более глубокой азимутальной вариации магнитного поля, а следовательно, более сильной аксиальной фокусировки частиц и к ряду конструктивных удобств, обеспечиваемых наличием свободных промежутков между магнитными секторами. В настоящей статье на основании формул, полученных в работах [1, 2], выводятся геометрические соотношения между элементами орбиты в секторном циклотроне со ступенчатым полем, однородным в секторах  $B$  и в промежутках между секторами  $\kappa B$ . В частности, получены соотношения

$$\frac{R_M}{r} = 1 + \frac{(1-\kappa)(K_1-K)}{\sqrt{1+[K+\kappa(K_1-K)]^2}}; \quad (1)$$



Форма орбиты в секторном циклотроне.

\* А. И. Морозов, Л. С. Соловьев. ЖТФ, 34, 1566 (1964).

$$\frac{R_m}{r} = \frac{1}{\kappa} - \frac{1-\kappa}{\kappa} \frac{1+K^2}{1+[K+\kappa(K_1-K)]^2};$$

$$\lim_{\kappa \rightarrow 0} \frac{R_m}{r} = \frac{1+K_1 K}{1+K^2}; \quad (2)$$

$$\frac{R}{r} = \frac{1+K_1^2}{1+[K+\kappa(K_1-K)]^2}; \quad r = \sqrt{\gamma^2 - 1}; \quad (3)$$

$$\frac{\alpha_1}{2} = \operatorname{arctg} K_1;$$

$$K_1 = -K \frac{1-\kappa}{\kappa} + \frac{1}{\kappa} \times$$

$$\times \operatorname{ctg} \left\{ \frac{\pi(\gamma-1)}{N\gamma(1-\kappa)} + \frac{1}{\gamma} \operatorname{arcctg} [K+\kappa(K_{10}-K)] \right\}; \quad (4)$$

$$\lim_{\kappa \rightarrow 0} K_1 = \frac{K_{10}}{\gamma} - \frac{\gamma-1}{\gamma} \left[ \frac{\pi}{N} (1+K^2) - K \right];$$

$$\frac{B}{\langle B \rangle} = \frac{1}{\kappa} - \frac{N(1-\kappa)}{\pi\kappa} \operatorname{arctg} [K+\kappa(K_1-K)];$$

$$\lim_{\kappa \rightarrow 0} \frac{B}{\langle B \rangle} = 1 + \frac{N}{\pi} \cdot \frac{K_1 - K}{1+K^2}. \quad (5)$$

Здесь  $R_M$  — максимальное расстояние от центра циклотрона до орбиты, осуществляющееся в середине магнитного сектора (см. рисунок);  $R_m$  — минимальное расстояние от центра до орбиты, осуществляющееся в середине промежутка между секторами;  $R$  — расстояние от центра до точки пересечения орбиты с краем магнитного сектора;  $r$  — радиус кривизны орбиты в магнитном секторе;  $r/\kappa$  — радиус кривизны орбиты в промежутке между секторами.

Все длины измеряются в «циклотронных единицах». Одна циклотронная единица равна  $\frac{E_0}{ZeB}$ , где  $Ze$  — заряд иона;  $E_0$  — энергия покоя.

В работе приняты следующие обозначения:  $K = \operatorname{ctg} \frac{\pi}{N}$ ,  $N$  — число магнитных секторов;  $\gamma = \frac{E}{E_0}$ ;  $E$  — полная энергия иона;  $\alpha_1$  — азимутальная протяженность магнитного сектора на радиусе  $R$ ;  $K_{10} =$